

Modelagem de um Sistema de Levitação Magnética no Espaço de Estados

Guilherme Martins Specht

Bacharelado em Engenharia de Computação, PUCRS

`guilherme.specht@edu.pucrs.br`

20 de maio de 2025

Resumo

Este trabalho apresenta a modelagem e análise de um sistema de levitação magnética com base na representação no espaço de estados. A partir das equações diferenciais não lineares que descrevem a dinâmica do sistema eletromecânico, foi realizada a linearização em torno de um ponto de equilíbrio, possibilitando a obtenção de um modelo linear adequado para análise. As matrizes do sistema foram determinadas e utilizadas na simulação em malha aberta no ambiente Simulink, por meio de duas abordagens distintas: utilizando o bloco "State-Space" e apenas blocos elementares. Os resultados obtidos evidenciam o comportamento instável da planta, confirmado também pela análise dos autovalores da matriz dinâmica. Além disso, foram calculadas as matrizes de controlabilidade e observabilidade, cujos determinantes indicam que o sistema é totalmente controlável e observável. Essas conclusões oferecem uma base sólida para futuras etapas de projeto de controladores que visem a estabilização do sistema.

Palavras-chave: Levitação magnética; Espaço de estados; Linearização; Controlabilidade; Observabilidade.

1 Introdução

Este trabalho tem como objetivo a modelagem e análise de um sistema de levitação magnética por meio da representação no *Espaço de Estados*, com ênfase nas etapas de linearização e organização das equações diferenciais que descrevem o sistema. A planta em estudo, representada na figura, consiste em uma bobina elétrica que exerce força magnética oposta à força gravitacional sobre uma esfera metálica, resultando em um sistema intrinsecamente instável.

Para viabilizar a análise, aplicou-se o procedimento de linearização, permitindo re-escrever as equações diferenciais do sistema em torno de um ponto de equilíbrio. Esse ponto nominal, definido por condições estáveis, possibilita uma aproximação linear da dinâmica, viabilizando a modelagem no formato de *Espaço de Estados*. Os parâmetros físicos utilizados foram obtidos por meio da função `getvaluesT3`, utilizando a matrícula 20102977 como *seed*, conforme descrito na Tabela 1.

Tabela 1: Parâmetros do sistema

Parâmetro	Descrição	Valor
m	Massa do objeto metálico (kg)	1.5
g	Aceleração da gravidade (m/s ²)	9.70
c	Constante eletromagnética da bobina	0.3
R_b	Resistência elétrica da bobina (Ω)	3
L_b	Indutância da bobina (H)	0.4
p_0	Distância nominal de levitação (m)	0.04

Com base nesses parâmetros, foi possível modelar o sistema por meio das equações linearizadas, expressas em termos das variáveis de estado, resultando na formulação completa no espaço de estados.

As equações diferenciais linearizadas do sistema são dadas por:

$$R_b \cdot \Delta i(t) + L_b \cdot \frac{d\Delta i(t)}{dt} = \Delta v(t) \quad (1)$$

$$m \cdot \frac{d^2 \Delta p(t)}{dt^2} = c \left(\frac{i_0}{p_0} \right)^2 \Delta p(t) - 2c \left(\frac{i_0}{p_0} \right) \Delta i(t) \quad (2)$$

As expressões para i_0 e v_0 , que representam os valores de equilíbrio da corrente e da tensão, respectivamente, são dadas por:

$$i_0 = \sqrt{\frac{mgp_0}{c}}, \quad v_0 = R_b \cdot i_0 \quad (3)$$

2 Organização do Modelo no Espaço de Estados

Neste trabalho, vamos considerar $\Delta v(t)$ (delta de tensão) como a entrada de controle $u(t)$ do sistema e $\Delta p(t)$ (delta de posição) como a saída sensoreada $y(t)$ do processo. Trabalharemos então as equações do sistema a fim de obtermos o modelo no padrão Espaço de Estados:

$$\begin{cases} \dot{x}(t) = Ax(t) + Bu(t) \\ y(t) = Cx(t) + Du(t) \end{cases}$$

Para o vetor de estados, foi definido para o caso em que $c = 0.3$ como:

$$x(t) = \begin{bmatrix} \Delta p(t) \\ \Delta i(t) \\ \Delta \dot{p}(t) \end{bmatrix} = \begin{bmatrix} x_1(t) \\ x_2(t) \\ x_3(t) \end{bmatrix}$$

e para o vetor de derivadas:

$$\dot{x}(t) = \begin{bmatrix} \Delta \dot{p}(t) \\ \Delta \dot{i}(t) \\ \Delta \ddot{p}(t) \end{bmatrix} = \begin{bmatrix} \dot{x}_1(t) \\ \dot{x}_2(t) \\ \dot{x}_3(t) \end{bmatrix}$$

Desta forma, podemos identificar os termos nas equações diferenciais linearizadas conforme abaixo:

$$\underbrace{R_b \cdot \Delta i(t)}_{x_2} + \underbrace{L_b \cdot \frac{d\Delta i(t)}{dt}}_{\dot{x}_2} = \underbrace{\Delta v(t)}_{u(t)}$$

$$m \cdot \underbrace{\frac{d^2 \Delta p(t)}{dt^2}}_{\dot{x}_3} = c \left(\frac{i_0}{p_0} \right)^2 \underbrace{\Delta p(t)}_{x_1} - 2c \left(\frac{i_0}{p_0} \right) \underbrace{\Delta i(t)}_{x_2}$$

Substituindo:

$$R_b \cdot x_2(t) + L_b \cdot \dot{x}_2(t) = u(t)$$

$$m \cdot \dot{x}_3(t) = c \left(\frac{i_0}{p_0} \right)^2 x_1(t) - 2c \left(\frac{i_0}{p_0} \right) x_2(t)$$

A partir daí, podemos encontrar as equações das derivadas das variáveis de estado $\dot{x}(t)$ e da saída sensoreada do processo $y(t)$.

2.1 Derivadas das Variáveis de Estado

Para $\dot{x}_1(t)$ relacionamos os vetores:

$$\dot{x}_1(t) = \Delta \dot{p}(t) = x_3(t)$$

Para $\dot{x}_2(t)$ rearranjamos a equação acima:

$$\dot{x}_2(t) = -\frac{R_b}{L_b} \cdot x_2(t) + \frac{1}{L_b} \cdot u(t)$$

Para $\dot{x}_3(t)$ rearranjamos a equação anterior:

$$\dot{x}_3(t) = \frac{c}{m} \left(\frac{i_0}{p_0} \right)^2 \cdot x_1(t) - \frac{2c}{m} \left(\frac{i_0}{p_0} \right) \cdot x_2(t)$$

2.2 Função de Saída

Como a saída $y(t)$ do sistema corresponde à variação da posição $\Delta p(t)$, a partir da definição de $x(t)$, temos:

$$y(t) = x_1(t)$$

2.2.1 Sistema de Equações no Formato Expandido

Com base nas derivadas obtidas, o sistema de equações diferenciais pode ser escrito da seguinte forma:

$$\dot{x}_1(t) = 0 \cdot x_1(t) + 0 \cdot x_2(t) + 1 \cdot x_3(t) + 0 \cdot u(t)$$

$$\dot{x}_2(t) = 0 \cdot x_1(t) - \frac{R_b}{L_b} \cdot x_2(t) + 0 \cdot x_3(t) + \frac{1}{L_b} \cdot u(t)$$

$$\dot{x}_3(t) = \frac{c}{m} \left(\frac{i_0}{p_0} \right)^2 \cdot x_1(t) - \frac{2c}{m} \left(\frac{i_0}{p_0} \right) \cdot x_2(t) + 0 \cdot x_3(t) + 0 \cdot u(t)$$

$$y(t) = 1 \cdot x_1(t) + 0 \cdot x_2(t) + 0 \cdot x_3(t) + 0 \cdot u(t)$$

2.3 Obtendo as Matrizes

Com os termos neste formato, podemos relacionar com o padrão do Espaço de Estados e obter as matrizes A , B , C e D :

$$A = \begin{bmatrix} 0 & 0 & 1 \\ 0 & -\frac{R_b}{L_b} & 0 \\ \frac{c}{m} \left(\frac{i_0}{p_0} \right)^2 & -\frac{2c}{m} \left(\frac{i_0}{p_0} \right) & 0 \end{bmatrix}$$

$$B = \begin{bmatrix} 0 \\ \frac{1}{L_b} \\ 0 \end{bmatrix} \quad C = [1 \quad 0 \quad 0] \quad D = [0]$$

Por fim, substituindo i_0 conforme a equação (3) e aplicando os valores obtidos pela função `getvaluesT3`, apresentados na Tabela 1, obtemos as matrizes do modelo conforme abaixo:

$$A = \begin{bmatrix} 0 & 0 & 1 \\ 0 & -7.5 & 0 \\ 244.75 & 13.9929 & 0 \end{bmatrix}$$

$$B = \begin{bmatrix} 0 \\ 2.5 \\ 0 \end{bmatrix} \quad C = [1 \quad 0 \quad 0] \quad D = [0]$$

3 Simulação do Sistema em Malha Aberta

A simulação do sistema de levitação magnética em malha aberta foi realizada no ambiente Simulink. Considerando a natureza instável da planta, o tempo de simulação foi limitado a 0,2 segundos, com o objetivo de analisar o comportamento inicial da resposta do sistema.

A simulação foi conduzida por meio de duas abordagens distintas:

1. **Bloco “State-Space”:** Nesta abordagem, foi utilizado o bloco *State-Space* da biblioteca do Simulink, no qual as matrizes A , B , C e D do modelo foram diretamente inseridas.
2. **Blocos elementares:** A segunda abordagem consistiu na modelagem do sistema apenas com blocos fundamentais, como *Integrator*, *Sum* e *Gain*, replicando a estrutura do modelo no espaço de estados.

3.1 Diagramas de Bloco e Resultados

As figuras abaixo ilustram os diagramas de blocos das duas implementações: a primeira com o bloco *State-Space*, e a segunda com blocos elementares. Em ambas as configurações, o sistema apresentou resposta instável, como era esperado.

Para validar a equivalência entre as abordagens, as saídas das duas simulações foram comparadas. A Figura ?? apresenta o gráfico das respostas, onde observa-se a perfeita sobreposição das curvas. A linha tracejada representa a saída do modelo com o bloco *State-Space*, enquanto a linha contínua refere-se à implementação com blocos elementares. A coincidência entre as respostas confirma que ambas as implementações reproduzem o mesmo comportamento dinâmico.

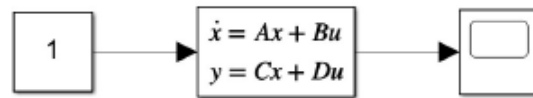


Figura 1: Diagrama de blocos dos sistema com o bloco State-Space.

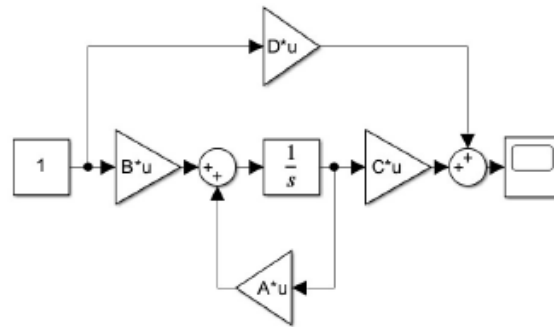


Figura 2: Diagrama de blocos do sistema utilizando somente blocos elementares.

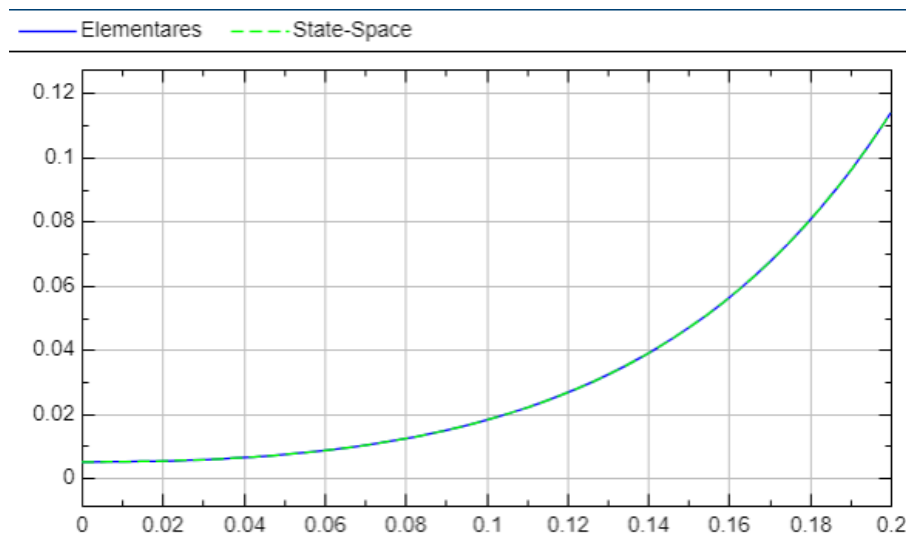


Figura 3: Comparação das respostas do sistema em ambas as implementações.

4 Determinação dos Autovalores e Análise de Estabilidade

Nesta seção, os autovalores da matriz A são determinados com o objetivo de avaliar a estabilidade interna do sistema. Considerando a matriz apresentada anteriormente, os autovalores correspondem às raízes da equação característica, obtida a partir do determinante de $\lambda I - A$, com λ representando o autovalor e I sendo a matriz identidade:

$$\lambda I - A = \begin{bmatrix} \lambda & 0 & -1 \\ 0 & \lambda + 7.5 & 0 \\ -244.75 & -13.9928 & \lambda \end{bmatrix}$$

O determinante é dado por:

$$\det(\lambda I - A) = \begin{vmatrix} \lambda & 0 & -1 \\ 0 & \lambda + 7.5 & 0 \\ -244.75 & -13.9928 & \lambda \end{vmatrix}$$

Aplicando a regra de Sarrus:

$$\det(\lambda I - A) = [\lambda^2(\lambda + 7.5)] - [(-1)(\lambda + 7.5)(-244.75)] = (\lambda + 7.5)(\lambda^2 - 244.75)$$

A equação característica é então:

$$(\lambda + 7.5)(\lambda^2 - 244.75) = 0$$

As raízes da equação — ou seja, os autovalores do sistema — são:

$$\lambda_1 = 15.6444, \quad \lambda_2 = -15.6444, \quad \lambda_3 = -7.5$$

4.1 Análise de Estabilidade

A estabilidade de um sistema linear contínuo depende da parte real dos autovalores de sua matriz dinâmica. Para que o sistema seja considerado internamente estável, todos os autovalores devem possuir partes reais estritamente negativas.

Neste caso, como um dos autovalores é positivo ($\lambda_1 = 15.6444$), conclui-se que o sistema é **internamente instável**. Isso significa que qualquer perturbação ou condição inicial não nula fará com que a resposta do sistema cresça indefinidamente ao longo do tempo, afastando-se do ponto de equilíbrio em vez de se aproximar dele.

5 Análise de Controlabilidade e Observabilidade

Nesta seção, avaliamos a controlabilidade e observabilidade do sistema a partir da matriz A e das dimensões do modelo no espaço de estados. Para isso, construímos as matrizes de controlabilidade (Ctrl) e observabilidade (Obs), definidas como:

$$\text{Ctrl} = [B \quad AB \quad A^2B], \quad \text{Obs} = \begin{bmatrix} C \\ CA \\ CA^2 \end{bmatrix}$$

Para que a planta seja completamente controlável e observável, é necessário que os determinantes dessas matrizes sejam diferentes de zero.

5.1 Análise de Controlabilidade

Inicialmente, calculamos $A \cdot B$:

$$A \cdot B = \begin{bmatrix} 0 & 0 & 1 \\ 0 & -7.5 & 0 \\ 244.75 & 13.9929 & 0 \end{bmatrix} \cdot \begin{bmatrix} 0 \\ 2.5 \\ 0 \end{bmatrix} = \begin{bmatrix} 0 \\ -18.75 \\ 34.9821 \end{bmatrix}$$

A seguir, calculamos A^2 :

$$A^2 = A \cdot A = \begin{bmatrix} 0 & 0 & 1 \\ 0 & -7.5 & 0 \\ 244.75 & 13.9929 & 0 \end{bmatrix} \cdot \begin{bmatrix} 0 & 0 & 1 \\ 0 & -7.5 & 0 \\ 244.75 & 13.9929 & 0 \end{bmatrix} = \begin{bmatrix} 244.75 & 13.9929 & 0 \\ 0 & 56.25 & 0 \\ 0 & -104.9464 & 244.75 \end{bmatrix}$$

Multiplicando $A^2 \cdot B$:

$$A^2 \cdot B = \begin{bmatrix} 244.75 & 13.9929 & 0 \\ 0 & 56.25 & 0 \\ 0 & -104.9464 & 244.75 \end{bmatrix} \cdot \begin{bmatrix} 0 \\ 2.5 \\ 0 \end{bmatrix} = \begin{bmatrix} 34.9821 \\ 140.625 \\ -262.366 \end{bmatrix}$$

Portanto, a matriz de controlabilidade é:

$$\text{Ctrl} = \begin{bmatrix} 0 & 0 & 34.9821 \\ 2.5 & -18.75 & 140.625 \\ 0 & 34.9821 & -262.366 \end{bmatrix}$$

Para verificar a controlabilidade, calculamos o determinante:

$$\det(\text{Ctrl}) = \begin{vmatrix} 0 & 0 & 34.9821 \\ 2.5 & -18.75 & 140.625 \\ 0 & 34.9821 & -262.366 \end{vmatrix} = (0) + (0) + (34.9821 \cdot 2.5 \cdot 34.9821) \approx 3059.4$$

Como $\det(\text{Ctrl}) \neq 0$, o sistema é totalmente controlável.

5.2 Análise de Observabilidade

Para verificar a observabilidade do sistema, calculamos os produtos $C \cdot A$ e $C \cdot A^2$, onde:

$$C = [1 \quad 0 \quad 0]$$

Multiplicando:

$$C \cdot A = [1 \quad 0 \quad 0] \cdot \begin{bmatrix} 0 & 0 & 1 \\ 0 & -7.5 & 0 \\ 244.75 & 13.9929 & 0 \end{bmatrix} = [0 \quad 0 \quad 1]$$

E:

$$C \cdot A^2 = [1 \quad 0 \quad 0] \cdot A^2 = [244.75 \quad 13.9929 \quad 0]$$

Com isso, a matriz de observabilidade fica:

$$\text{Obs} = \begin{bmatrix} 1 & 0 & 0 \\ 0 & 0 & 1 \\ 244.75 & 13.9929 & 0 \end{bmatrix}$$

Calculando seu determinante:

$$\det(\text{Obs}) = \begin{vmatrix} 1 & 0 & 0 \\ 0 & 0 & 1 \\ 244.75 & 13.9929 & 0 \end{vmatrix} = -13.9929$$

Como $\det(\text{Obs}) \neq 0$, concluímos que o sistema é totalmente observável.

6 Conclusão

A análise do sistema de levitação magnética evidenciou sua complexidade, especialmente em função de sua instabilidade inerente, o que torna sua modelagem e controle mais desafiadores. A utilização da representação no espaço de estados mostrou-se fundamental para organizar as equações diferenciais do sistema e viabilizar a construção de um modelo apropriado para simulação e controle. A simulação em malha aberta revelou claramente o comportamento instável da planta, o que reforça a importância de se projetar um controlador capaz de garantir a estabilidade do sistema. Com base nas análises de controlabilidade e observabilidade, verificou-se que o sistema é totalmente controlável e observável. Isso significa que todas as variáveis de estado podem ser monitoradas e controladas de forma eficiente. Esses resultados fornecem uma base sólida para o desenvolvimento de futuras estratégias de controle, essenciais para alcançar um funcionamento seguro e estável do sistema.